

1. はじめに コンクリート中に埋め込まれた短かいアンカーボルトの水平抵抗計算式について、第33回年次学術講演会(昭和49)に発表した。短いアンカーボルトとは軒の耐震落下防護装置として用いられるストッパーを含めたもので、これは橋脚、橋台の底部緩衝附近、コンクリート横断腹部などコンクリートの支圧抵抗力が比較的大きい箇所に設置されることが多い。またストッパーの終極耐力を考える場合は、埋込上部附近のコンクリートの支圧応力は塑性領域に入るであろうし、或は端部のコンクリートはひびわれ剥離してその抵抗力は内部の鉄筋に肩代りされる傾向があるのを、埋込部コンクリートの上部附近の反力を線形でないと仮定する方がより合理的と考えられる。コンクリート埋込鋼板ストッパーは剛体に近い挙動を示し、或は曲げ変形が卓越することが考えられ、また水平抵抗の安全度を高くする場合は設計荷重作用時の反力は線形と仮定することもできるので、以下に剛体ボルトが線形または非線形反力をうける場合および非線形反力をうける曲げ変形を考慮したボルトの水平抵抗計算式について述べる。

## 2. 剛体アンカーボルトの水平抵抗

### 2.1 線形反力を仮定する場合

ボルト頭部に図-1(a)のように水平力 $H_0$ 、曲げモーメント $M_0$ が作用するとき、側面のコンクリートの水平ばね係数 $k$ は深さ方向に一定、水平反力を $P$ 、底面の面積を $A$ 、底面にコンクリートのせん断ばね $S$ による抵抗力 $F$ が作用するものとする。従って、

$$P = (R - y) \cdot \theta \cdot P_e$$

$$\Sigma H = 0 \text{ より}, - \int_0^l P b dy + AS(l-R)\theta + H_0 = 0 \quad \dots \dots \dots (1)$$

$$\Sigma M = 0 \text{ より}, - \int_0^l P \cdot b(l-y) dy + M_0 + H_0 l = 0 \quad \dots \dots \dots (2)$$

$$(1) \text{ より}, \theta = H_0 / (b R l + A S) R - (b R l^2 / 2 + A S l) \quad \dots \dots \dots (3)$$

$$(2) \text{ より}, \theta = 6(M_0 + H_0 l) / b R e l^2 (3R - l) \quad \dots \dots \dots (4)$$

$$(3), (4) \text{ より}, P_e = 6(M_0 + H_0 l) l (b R l / 2 + A S) - b R e l^3 H_0 / 6(M_0 + H_0 l)(b R l + A S) - 3b R e l^2 H_0 \quad \dots \dots \dots (5)$$

$$(4), (5) \text{ より}, \theta = 6 \left\{ 2(M_0 + H_0 l) \left( \frac{l}{2} + \frac{A S}{b R e l^2} \right) - H_0 \right\} / b R e l^2 + 4l A S \quad \dots \dots \dots (6)$$

$$\therefore P_e = R_e l \theta = 2 P_e \left\{ 6(M_0 + H_0 l) \left( \frac{l}{2} + \frac{A S}{b R e l^2} \right) - l H_0 \right\} / b R e l^2 + 4l A S \quad \dots \dots \dots (7)$$

$$P_u = R_e (l - R) \theta = 2 P_e \left\{ 3(M_0 + H_0 l) - 2l H_0 \right\} / b R e l^2 + 4l A S \quad \dots \dots \dots (8)$$

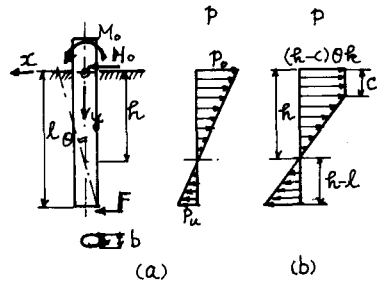


図-1. 剛体ボルトの荷重と反力

### 2.2 埋込上部コンクリートが塑性化し抵抗力一定の場合 (図-1(b))

$$\Sigma H = 0, \therefore b c R_e (R - c) \theta + \int_c^l P b dy - H_0 - A S (l - R) \theta = 0 \quad \therefore \theta = H_0 / b c R_e (R - c) + b R_e (l - c) (R - \frac{R+c}{2}) - A S (l - R) \quad (9)$$

$$\Sigma M = 0, \therefore b c R_e (R - c) \theta \cdot (l - \frac{c}{2}) + \int_c^l P b (l - y) dy - (M_0 + H_0 l) = 0 \quad \therefore \theta = M_0 + H_0 l / b c R_e (R - c) (l - \frac{c}{2}) + \frac{b R_e}{6} (l - c)^2 (3R - 2c - l) \quad (10)$$

$$(9), (10) \text{ より}, R_e = \left\{ 3(c^2 + l^2) + \frac{6 A S l}{b R_e} \right\} (M_0 + H_0 l) - (3c^2 l - c^3 + l^3) H_0 / 6(M_0 + H_0 l)(l + \frac{A S}{b R_e}) - 3l^2 H_0 \quad \dots \dots \dots (11)$$

以下は2.1と同様である。

### 3. コンクリート上部の降伏反力、下部線形反力と曲げ変形を考慮したアンカーボルトの水平抵抗

ボルト頭部に図-2の $H_0$ 、 $M_0$ が作用するとき、埋込部コンクリートの表面から深さ $C$ の部分は降伏して一定の

水平反力を生じ、それ以下のコンクリートの水平ばね定数をた、底面のせん断  
ばね定数も  $S$ 、ボルトは一定の曲げ剛性  $EI$  をもつものと仮定する。

$x \geq C$  の範囲で次式が成立す。

$$\frac{dy}{dx} + \frac{b\beta}{EI} y = 0, \quad \beta = \sqrt{\frac{bP_0}{4EI}} \quad \dots \dots \dots (12)$$

$$(12) \text{ 式の解は } y = e^{(\beta_1 \cos \beta x + \beta_2 \sin \beta x)} + \bar{e}^{\beta x} (C_3 \cos \beta x + C_4 \sin \beta x)$$

$$\frac{dy}{dx} = 2\beta^2 e^{\beta x} (C_2 \cos \beta x - C_1 \sin \beta x) + 2\beta^3 e^{-\beta x} (-C_2 \cos \beta x + C_3 \sin \beta x)$$

$$\frac{d^2y}{dx^2} = 2\beta^3 e^{\beta x} \{(-C_1 + C_2) \cos \beta x - (C_1 + C_2) \sin \beta x\} + 2\beta^4 e^{-\beta x} \{(C_3 + C_4) \cos \beta x + (-C_3 + C_4) \sin \beta x\}$$

また  $M = -EI \frac{dy}{dx^2}$ ,  $S = -EI \frac{d^2y}{dx^2}$  の関係からつぎの境界条件式が得られる。

$$x = C \text{ で } M = 0, \quad M = -M_0 - H_0 C + \frac{bc^2\sigma}{2}, \quad S = -H_0 + bC\sigma \quad \dots \dots \dots (13)$$

$$x = l \text{ で } M = 0, \quad S = -(y)_{x=l} \cdot A \cdot S \quad \dots \dots \dots (14)$$

(13), (14) 式に  $y$ ,  $\frac{dy}{dx}$ ,  $\frac{d^2y}{dx^2}$  を代入すると次の未定係数方程式 (15) を得、 $C_1, C_2, C_3, C_4$  を求めることによつて変位、曲げモーメント、せん断力などを計算することができる。

$$\left. \begin{aligned} & -e^{\beta C} \sin \beta C \cdot C_1 + e^{\beta C} \cos \beta C \cdot C_2 + e^{\beta C} \sin \beta C \cdot C_3 - e^{\beta C} \cos \beta C \cdot C_4 = \frac{M_0 + H_0 C - \frac{bc^2\sigma}{2}}{2\beta^2 EI} \\ & -e^{\beta C} (\cos \beta C + \sin \beta C) C_1 + e^{\beta C} (\cos \beta C - \sin \beta C) C_2 + e^{\beta C} (\cos \beta C - \sin \beta C) C_3 + e^{\beta C} (\cos \beta C + \sin \beta C) C_4 = \frac{H_0 - bC\sigma}{2\beta^3 EI} \\ & -e^{\beta l} \sin \beta l \cdot C_1 + e^{\beta l} \cos \beta l \cdot C_2 + e^{\beta l} \sin \beta l \cdot C_3 - e^{\beta l} \cos \beta l \cdot C_4 = 0 \\ & -e^{\beta l} \left\{ (1 + \frac{AS}{2EI\beta^3}) \cos \beta l + \sin \beta l \right\} C_1 + e^{\beta l} \left\{ \cos \beta l - (1 + \frac{AS}{2EI\beta^3}) \sin \beta l \right\} C_2 \\ & + e^{\beta l} \left\{ (1 - \frac{AS}{2EI\beta^3}) \cos \beta l - \sin \beta l \right\} C_3 + e^{\beta l} \left\{ \cos \beta l + (1 - \frac{AS}{2EI\beta^3}) \sin \beta l \right\} C_4 = 0 \end{aligned} \right\} \quad \dots \dots \dots (15)$$

#### 4. 数値計算例

図-3 の鋼盤2トッパー柱  $\Omega_R = 240 \text{ kN/cm}^2$  のコンクリートに埋込まれ、 $E_c = 2.7 \times 10^5 \text{ kN/cm}^2$ ,  $P_0 = 6.1 \times 10^6 \text{ N/m}^2$ ,  $S = 8.9 \times 10^6 \text{ N/m}^3$ ,  $C = 0.2 \text{ m}$  とすると、剛体計算では  $\mu = 0.715 \text{ m}$ ,  $\theta = 952.3 \times 10^6 \text{ rad}$ ,  $P_0 = 2993 \text{ N/m}^2$ ,  $P_u = 1074 \text{ N/m}^2$ 、弾性計算では更に  $EI = 8286 \text{ kNm}^2$ ,  $\beta = 2.726 \text{ m}^l$ ,  $\Omega = 2993 \text{ N/m}^2$  として解を求め、それらの主要な結果を表-1 に示す。埋込上部付近のコンクリートの塑性状態支圧応力  $299 \text{ kN/cm}^2$  に対する外力方向に配置した水平鉄筋 (SD 35) の降伏強度で抵抗すると考へると、高さ  $200 \text{ cm}$  の範囲内  $12.29 \text{ t}$  を 8 本配筋すればよい。

#### 5. むちび

剛性が比較的大きいアンカーボルト、ストッパーなどの水平抵抗試験は既に発表されただ實験結果は比較的少なく、尚し下側面の

コンクリートの支圧応力と変位、ボルト本体の力と変形の關係など詳細な実験結果が少ない。今後更に研究を進めて行きたい。

實験資料を提示された首都高速道路公団工務部長玉野治光氏の方々に感謝の意を表します。

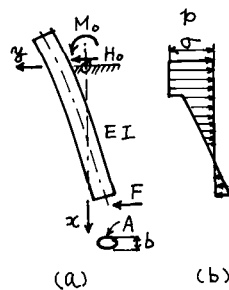


図-2 弹性体ボルトの荷重と反力

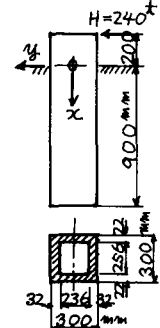


図-3 計算例

表-1. 計算変位、曲げモーメント、せん断力

x (m)	剛体ストッパー			弾性体ストッパー		
	y (mm)	M (kNm)	S (t)	y (mm)	M (kNm)	S (t)
-0.2	0.818	0	-240	2.95	0	-240
0.2	0.491	-78.4	-60.4	0.828	-78.0	-60.4
0.3	0.395	-79.9	20.7	0.486	-77.6	58.3
0.5	0.205	-63.6	130.5	0.069	-54.3	149.8
0.7	0.014	-32.3	170.7	-0.088	-24.3	140.7
0.9	-0.176	0	141.1	-0.125	0	100.1